(19) **日本国特許庁(JP)**

(12) 公 表 特 許 公 報(A)

(11)特許出願公表番号

特表2020-519346 (P2020-519346A)

(43) 公表日 令和2年7月2日(2020.7.2)

(51) Int.Cl. A61B 8/14 (2006, 01) FLA 6 1 B 8/14 テーマコード (参考) 4C601

審査請求 未請求 予備審査請求 未請求 (全 19 頁)

(21) 出願番号 特願2019-561313 (P2019-561313) (86) (22) 出願日 平成30年5月9日(2018.5.9) (85) 翻訳文提出日 令和1年11月7日(2019.11.7) PCT/EP2018/062158 (86) 国際出願番号

(87) 国際公開番号 W02018/206736

平成30年11月15日 (2018.11.15) (87) 国際公開日

(31) 優先権主張番号 62/504, 681

(32) 優先日 平成29年5月11日 (2017.5.11)

(33) 優先権主張国・地域又は機関

米国(US)

(71) 出願人 590000248

コーニンクレッカ フィリップス エヌ

ヴェ

KONINKLIJKE PHILIPS

N. V.

オランダ国 5656 アーヘー アイン ドーフェン ハイテック キャンパス 5

2

(74)代理人 100107766

弁理士 伊東 忠重

(74)代理人 100070150

弁理士 伊東 忠彦

(74)代理人 100091214

弁理士 大貫 進介

最終頁に続く

(54) 【発明の名称】超音波診断画像における反響アーチファクト打ち消し

(57)【要約】

超音波診断撮像システムは、複数の送信イベントに応答 して生成されたエコー信号の受信ビームを収集する。受 信ビームから送信イベント位置における差を考慮に入れ るために、受信ビームは再合焦を用いて組み合わされる 。再合焦における遅延および重みは、反響アーチファク トについて補正する遅延および重みを用いて補足される 。受信エコー信号は、汎用アーチファクトの存在を検出 するために処理され、反響信号成分の、画像フィールド 内の仮想点源までのシミュレートされた伝送が計算され る。このシミュレーションは、反響信号補償のために使 われる遅延および重みまたは推定反響信号を生成し、こ れが、反響アーチファクトを低減するために受信エコー 信号から減算されることができる。

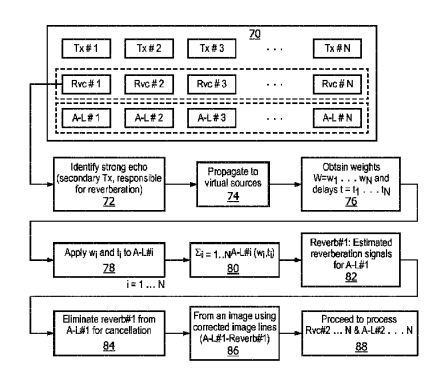


FIG. 5

【特許請求の範囲】

【請求項1】

超音波画像における反響信号アーチファクトを軽減する方法であって:

反響信号アーチファクトを含む超音波エコー信号を受領し;

前記超音波エコー信号における反響信号成分の存在を、包絡検出された超音波信号の振幅から検出し:

反響信号補正のための時間遅延および振幅を、反響信号の仮想点源までの伝達のシミュレーションから推定し;

組み合わされたAラインにおける反響信号成分を減らすよう、推定された時間遅延および振幅を使って、前記超音波エコー信号の複数のAラインを組み合わせ;

組み合わされたAラインを使って超音波画像を形成することを含む、

方法。

【請求項2】

超音波エコー信号を受領することがさらに、複数の送信イベントを送信し、各送信ビームに応答して複数のマルチラインを受信することを含む、請求項1記載の方法。

【請求項3】

複数のAラインを組み合わせることがさらに、複数の送信イベントからの複数のマルチ ラインを組み合わせることを含む、請求項 2 記載の方法。

【請求頂4】

複数のマルチラインを組み合わせることがさらに、複数のマルチラインを、該マルチラインを互いに関して再合焦する時間遅延を使って組み合わせることを含む、請求項3記載の方法。

【請求項5】

反響信号の存在を検出することがさらに、受信された超音波エコー信号を包絡検出によって処理することを含み、

反響信号の存在を検出することがさらに、ある閾値より大きく、かつ周囲のピクセルより少なくとも2標準偏差大きい超音波信号ピクセル振幅を識別することを含む、 請求項1記載の方法。

【請求項6】

前記仮想点源が、送信されたまたは受信された超音波ビームの焦点深さに位置されている、請求項1記載の方法。

【請求項7】

反響信号補正のための時間遅延および振幅を推定することがさらに、受領されたエコー 信号から反響信号成分を推定することを含む、請求項1記載の方法。

【請求項8】

前記仮想点源が、送信されたまたは受信された超音波ビームの焦点深さに位置されており、

前記時間遅延および振幅が、前記仮想点源におけるシミュレートされた反響信号成分の到着時間および振幅からの推定値である、

請求項7記載の方法。

【請求項9】

反響信号成分を減らすよう、推定された時間遅延および振幅を使って、前記超音波エコー信号の複数のAラインを組み合わせることがさらに、推定された反響信号成分を受領された超音波エコー信号から減算することを含む、請求項7記載の方法。

【請求項10】

複数のAラインを組み合わせることがさらに、反響アーチファクトを含むAラインを推定するための再合焦遅延を使って複数のAラインを組み合わせることを含む、請求項 8 記載の方法。

【請求項11】

超音波画像における反響信号アーチファクトを軽減するための診断超音波システムであ

10

20

30

40

って:

反響信号アーチファクトを含む複数の受信された超音波エコー信号を少なくとも部分的にビームフォーミングすることによって複数のAラインを提供するよう構成されたマルチライン・プロセッサ(110a...110n)と;

前記複数のAラインに応答し、各Aラインの包絡を検出するよう構成された包絡検出器であって、各包絡検出は包絡振幅検出を含む、包絡検出器と;

前記包絡検出器に結合され、前記超音波エコー信号における反響信号成分の存在を、前記包絡の振幅から検出し、反響信号補正のための時間遅延および振幅を、今の反響信号の仮想点源までの伝達のシミュレーションから推定するよう構成された反響信号プロセッサとを有する、

診断超音波システム。

【 請 求 項 1 2 】

前記マルチライン・プロセッサおよび前記反響信号プロセッサに結合され、組み合わされたAラインにおける反響信号成分を減らすよう、推定された時間遅延および振幅を使って、前記超音波エコー信号の複数のAラインを組み合わせるよう構成された結合器と;

組み合わされたAラインを使って超音波画像を形成するよう構成された画像プロセッサとをさらに有する、

請求項11記載の診断超音波システム。

【請求項13】

前記反響信号プロセッサが、反響信号補正のための時間遅延および振幅を推定することを、反響信号の、アレイ・トランスデューサから仮想点源までの伝達をシミュレートすることによって行なうよう構成されている、請求項11記載の診断超音波システム。

【請求項14】

前記反響信号プロセッサが、反響信号補正のための時間遅延および振幅を推定することを、合焦送信信号行列および送信 受信変換行列との積をさらに計算することによって行なうよう構成されている、請求項11記載の診断超音波システム。

【請求項15】

前記反響信号プロセッサが、反響信号補正のための時間遅延および振幅を推定すること を、複素反響波面行列の逆フーリエ変換をさらに計算することによって行なうよう構成されている、請求項14記載の診断超音波システム。

【請求項16】

前記画像プロセッサが、超音波画像を形成することを、送信ビームの軸の関数として再合焦された複数のマルチラインから画像を形成することによって行なうよう構成されている、請求項12記載の診断超音波システム。

【発明の詳細な説明】

【技術分野】

[0001]

関連出願

本願は2017年5月11日に出願された米国仮出願第62/504,681号の利益および優先権を主張するものである。同出願の内容はここに参照によってその全体において組み込まれる。

[0002]

技術分野

本発明は、医用診断超音波システムに、特に超音波画像における反響エコーに起因する画像アーチファクトを軽減または打ち消す超音波システムに関する。

【背景技術】

[0003]

医用超音波画像は、さまざまな源から発する画像アーチファクトで汚染されることがある。満足のいかない信号対雑音比があるときに生じうる単純なノイズ・アーチファクトに加え、他のアーチファクトは超音波の現象に固有である。スペックル・アーチファクトは

10

20

30

40

、超音波信号のコヒーレントな性質のために生じる。画像における穏やかな透かしのように見えることがあるこれらのアーチファクトは、周波数複合(frequency compounding)のよび空間的複合(spatial compounding)のような信号処理技法によって軽減されるとができる。収差アーチファクトは、トランスデューサへのおよびトランスデューサのの超音波経路における異なる組織および物質を通る音速の差に起因して生じることがあり、ビームフォーミング・プロセスにおける遅延補償によって軽減できる。超音波に固音波に固合の連像アーチファクトは反響アーチである。反響よって反射され、ほうことが上である強によりエコーをである。に変を再び外向され、それが送信波からの戻りエコーも返され、それが送信波からの戻りエコーも返され、それが送信波からの戻りエコーとである。反響エコーは送信波からの戻りエコーより低レベルだが、それでも主要な所との画像に重畳される部分的なファントム像を生じるのに十分な振幅になることがよくある

10

[0004]

米国特許第6,905,465号(Anglesen et al.)は、二回送信することによって超音波撮像における反響収差を補正する技法を記載している。二回送信の一度は反響信号アーチファクトについての戻り信号をサンプリングするためであり、二度目は反響の効果を軽減するよう送信が調整される。しかしながら、この手法は二つの送信イベントを必要とし、そのことは画像データを取得するのに要する時間を増し、よって表示のフレーム・レートを下げる。

20

30

【特許文献1】米国特許第6,905,465号

【発明の概要】

【発明が解決しようとする課題】

[0 0 0 5]

本発明は、表示フレーム・レートを下げる複数回送信の必要なしに超音波画像から反響 アーチファクトを望ましく軽減または解消することをねらいとする。

【課題を解決するための手段】

[0006]

本発明の原理によれば、超音波画像における反響アーチファクトの出現を減らす診断超音波システムおよび方法が記述される。本方法およびシステムは、まずエコー信号データの集合に対して作用することによって超音波画像データにおける反響アーチファクトの存在および位置を検出することによって機能する。反響アーチファクトを生じる、受信エコー信号データの信号成分が、好ましくは後ろ向き動的送信合焦(retrospective dynamic transmit focusing)の原理を使って、推定される。推定された反響信号が実際の受信信号から減算される、または相殺する位相および重み調整がビームフォーミング・プロセスにおいて使用されて、超音波画像を生成するために使われる画像データから反響アーチファクトを軽減または解消する。

【図面の簡単な説明】

[0007]

40

- 【図1】a~eは、超音波画像における反響アーチファクトの現象を示す。
- 【 図 2 】 本 発 明 の 原 理 に 基 づ い て 構 築 さ れ た 超 音 波 シ ス テ ム を ブ ロ ッ ク 図 の 形 で 示 す 。
- 【図3】後ろ向き動的送信合焦の原理を示す。
- 【図4】a~cは、反響アーチファクト信号の推定において、仮想点源に分解された複素 波面のシミュレーションを示す。
- 【図5】図2の反響信号プロセッサによって実行される反響信号検出および処理を示す。

【発明を実施するための形態】

[0008]

図 1 の a ~ e の図は、超音波撮像における反響アーチファクトの問題を示している。図 1 a では、トランスデューサ・アレイ 1 0 4 が標的解剖構造 1 0 のほうに超音波エネルギ

20

30

40

50

ーの平面波20を送信しているところが示されている。トランスデューサと標的との間の 経路にはいくつかの鏡面反射体12があり、これらは送信された超音波エネルギーの一部 をトランスデューサのほうに戻るように反射する。これらの反射体は、異なる組織、肋骨 もしくは頭蓋のような骨、空気腔または有意な音響インピーダンス不連続を呈する他の構 造でありうる。図1bは、反射体12からトランスデューサのほうに反射されるエコーを 示している。図1cでは、エコー22はトランスデューサ・アレイ104の面で反射され て、今度は、反射体12によって以前に返されたものをミラーする二次(反響)エネルギ 一波22′が画像フィールドを通じて外向きに伝搬する。その間、もとの送信波は標的解 剖構造10から反射され、それからのエコーが波面24によって示されるように、トラン スデューサ・アレイに戻ってくるところである。反響エネルギー22'が反射体12に到 達すると、そのエネルギーの一部がもう一度トランスデューサのほうに反射される。二次 反響エコーは図 1 dにおいて 2 6においてトランスデューサ・アレイに戻ってくるところ が示されている。二次反響エコーはそこで標的解剖構造から戻ってくるエコーと混ざり合 う。 これら異なるエコーによって生成される画像が図1 e においてスクリーン124に示 されている。画像の左側の鏡面反射体12の鮮鋭な画像は、反射体から返されたエコー2 2の第一の集合の受信から構築される。標的領域10の画像は、標的解剖構造によって返 されるエコー24の受信から構築される。だが、標的解剖構造は反射体12によって二度 目に返される反響エコーのアーチファクトによって部分的に隠蔽される。該二度目に返さ れる反響エコーは、標的解剖構造からの戻りエコーと混ざり合わさる原因となる進行時間 のため、この例において標的解剖構造の画像に重なる再構成されたファントム画像を生じ る。本発明の目的は、反響エコーを検出し、画像再構成におけるその効果を打ち消すが、 アレイ・トランスデューサによる追加的な「問い合わせ」送信を使うことなくそれを行な うということである。追加的な「問い合わせ」送信は、画像の表示のフレーム・レートを 下げるという望ましくない効果をもつことになるであろう。

[0009]

図2は、本発明の原理に基づいて構築された超音波撮像システムをブロック図の形で示 している。超音波プローブ102は、トランスデューサ素子のトランスデューサ・アレイ 104を含む。トランスデューサ素子の選択された群が送信ビームフォーマー106によ って、それぞれ位相遅延された時点で作動させられ、アレイに添った所望される起点(単 数または複数)から、所望される方向にある選択された合焦領域に操向および合焦される ビームを送信する。送信ビームフォーマーは、送受切り換えスイッチによってトランスデ ューサ素子に結合される。送受切り換えスイッチは、印加される高電圧の送信パルスから 受信器入力を保護するクロスポイント・スイッチを有していてもよい。各送信ビームに応 答してアレイ104の各トランスデューサ素子によって受信されるエコーは、マルチライ ン・プロセッサ 1 1 0 a ~ 1 1 0 n の入力に加えられる。各マルチライン・プロセッサは 受信ビームフォーマーを有しており、これは独自の遅延の集合および望むならアレイ素子 からの受信エコーに重み付けするアポダイゼーション重みを適用して、同じ送信ビームか ら異なる仕方で操向および合焦された受信ビームを形成する。マルチライン・プロセッサ 110a~110n のための好適なマルチライン・ビームフォーマーはたとえば米国特許 出願公開第6,695,783号(Henderson et al.) および米国特許第5,318,033号(Savord) に記載されている。マルチライン・プロセッサ110a~110nのスキャンライン出力 はライン蓄積部112に結合される。ライン蓄積部112は、少なくとも表示データのス キャンラインを形成するために必要とされるマルチライン全部が取得されるまで、受信さ れたマルチラインを蓄積していく。

[0010]

受信されたマルチラインは、結合器 9 0 によって組み合わせられる。結合器 9 0 は受信信号を、そのスキャン変換前に処理することを実行する。結合器は、乗算器 1 1 6 、重み付け回路 1 1 4 、遅延 1 1 8 および加算器 1 2 0 のようないくつかのユニットを有していてもよい。表示データの特定のラインを形成するために使われる一群のマルチラインがそれぞれの乗算器 1 1 6 a ~ 1 1 6 n に適用されて、対応するスキャンライン位置のための

表示データを生成する。各ラインからのエコー・データは、望むなら、アポダイゼーション重み114a~114nによって重み付けされてもよい。一般に、これらの重みは、各ラインに、その往復インパルス応答の関数として重み付けする。好適な重み付けアルゴリズムは、項amplitude(x,y)を画像フィールドにおける位置(x,y)の点の、送信波面による照射振幅であり、方位角位置x=0が送信ビームの中心軸に対応するとして導出できる。Xが送信ビーム軸に関する受信マルチラインの方位角であるとする。深さYにおける画像の点を形成するためにこの受信マルチラインに適用される重みは:

Weight(X,Y) = amplitude(X,Y)

である。適切な遅延特性の決定のために、propagation_time(x,y)が、送信波面が位置(x,y)の点に到達するために必要とされる伝搬時間であり、方位角x=0がやはり送信ビームの中心軸に対応するとする。Xが送信ビーム軸に関する受信ラインの方位角であるとする。深さYにおける画像の点を形成するためにこの受信マルチラインに適用される遅延は:

Delay(X,Y) = propagation_time(X,Y) - propagation_time(0,Y) である。ここで、

propagation_time(0,Y)は、同じ深さだが軸上にある点に到達する時間である。

[0011]

関数amplitude(X,Y)およびpropagation_time(X,Y)はたとえば、送信フィールドのシミュレーションから得ることができる。伝搬時間を計算するための適切な仕方は、いくつかの周波数での単色シミュレーションからのフィールドの位相遅延を使うことである。振幅は、いくつかの周波数におけるフィールドの振幅を平均することによって計算されてもよい。さらに、深さ依存の正規化が重みに適用されることができる。これは、所与の深さにおけるすべての重みに共通の因子を乗算する。たとえば、正規化は、スペックル領域が深さに関して一様な明るさをもつよう選ばれることができる。重みを深さの関数として変化させることにより、開口のサイズおよび形状(アポダイゼーション)を深さとともに変化させることが可能である。

[0012]

振幅および伝搬時間は、システムにおいて使用される厳密な送信特性のシミュレーションから導出される必要はない。設計者は、たとえば、異なる開口サイズまたは異なるアポダイゼーションを使うことを選んでもよい。

[0013]

各ラインからのエコーは、乗算器116a~116nによって重み付けされ、遅延線118a~118nによって遅延させられる。一般に、これらの遅延は、上記で示したように、受信ライン位置に対する送信ビーム中心の位置に関係する。遅延は、送信 受信ビーム位置の組み合わせが異なる諸マルチラインについて、ラインごとに存在する位相シフト変動を等化するために使われる。それにより、異なる送信開口から組み合わされた信号の位相差によって信号打ち消しが引き起こされることはない。

[0014]

デジタル・システムでは遅延線は、重み付けされたマルチライン・エコー・データをメモリに記憶し、必要な遅延を実施する後の時刻にデータを読み出すことによって実施されてもよい。異なる長さのシフト・レジスタおよびクロック信号がデジタル遅延を実施するために使われてもよく、あるいは先述した米国特許第6,695,783号に記載されるような補間ビームフォーマーが使われてもよい。遅延された信号は、加算器120によって組み合わされ、結果として得られる信号は画像プロセッサ122に結合される。画像プロセッサは、表示される画像を改善するためにスキャン変換または他の処理を実行してもよい。結果として得られる画像は画像ディスプレイ124に表示される。

[0015]

図 5 のシステムでは、遅延線 1 1 8 および加算器 1 2 0 が、所与の方向に相互整列されているいくつかの受信マルチラインから受領される信号の再合焦を実施する。再合焦は、各マルチラインについて異なる送信ビーム位置を使うことから帰結する位相差について調整する。重み 1 1 4 は、それらのマルチラインの寄与に重み付けする。重み付けは送信ビ

10

20

30

40

20

30

40

50

ームのマルチライン位置への近接性に関係し、より高い信号対雑音比をもつ受信ビームに対してより高い重みを与える。その結果、各受信ラインに沿った拡大されたフィールド深さと、各受信ライン方向における複数のサンプリングの組み合わせによる、向上した侵入 (改善された信号対雑音比)とが得られる。

[0016]

相互整列された受信マルチラインのこの再合焦は、図3を参照して説明されるような、 後 ろ 向 き 動 的 送 信 合 焦 効 果 を も 引 き 起 こ す 。 こ の 図 で は 、 四 つ の 送 信 ビ ー ム 3 4 が ト ラ ン スデューサ・アレイ104によって送信され、送信イベントはTx1、Tx2、Tx3、Tx4と称さ れる。各送信ビームは画像フィールドにおいて異なる方向に送信される;この例では、送 信および受信ビームは平行であり、よって各送信ビームは、トランスデューサ・アレイに 沿った異なる位置(x次元)から発する。各送信のエネルギーは、砂時計形の線30によ って概括的に示される、矢印32によって示される焦点に収束する送信ビーム・プロファ イルをもつ。このように、各送信ビームは、アレイのうちそれ自身の送信部分開口によっ て生成される。各送信に続いて、送信ラインと共位置の受信ラインが受信され、ビームフ ォーミングされ、追加的な受信ビーム40が、毎回アレイに沿って同じ位置(x方向)に おいて、アレイ・トランスデューサによって受信される。各受信ビーム40上で、コ エコー信号位置が、同じ深さyの円(一方は浅い深さ、他方はより深い深さ)でマークさ れている。第一の送信イベントTx1についての受信ビームは42に示されている。第一の 送信イベントについて、受信ビーム40は送信ビーム34の右にオフセットされているこ とがわかり、ビーム形成において距離と時間は等価なので、円を付けたエコー信号位置か ら受信されるエコーは、ビームフォーミング後に受信ビーム42上に示されるように位置 される。

[0017]

Tx2の第二の送信 受信サイクルでは、送信ビーム34は、横方向に、受信ビーム40 のより近くになっている。この、より小さなオフセットの結果、第二の受信ビーム42′ 上に示されるように、二つの円を付けたエコー信号位置は受信ビームの焦点の、より近く に位置される。Tx3の第三の送信 受信サイクルでは、送信ビームは、横方向に、受信ビ ーム 4 0 の右に、Tx2サイクルと同じ横方向距離離れて位置される。 円を付けたエコー信 号位置のエコーは、受信ビーム42 "上の信号によって示されるように位置される。Tx4 の第四の送信 受信サイクルでは、送信ビームは、受信ビーム中心のさらに右に、最初の Tx1サイクルの場合と同じ距離オフセットされて位置される。円を付けたエコー信号位置 のエコーは、受信ビーム42′′′上の信号によって示されるように、受信ビーム焦点か らより大きな距離離れて位置される。円を付けた各信号位置における変動は、四つの受信 ビーム42、42′、42′′、48′′′を横断して描かれている曲線44および46に よって表わされてもよい。この変動は、受信マルチラインを組み合わせる前にそれぞれの 受信マルチラインに遅延補正を適用することによる後ろ向き動的送信再合焦において補正 される。 例 示 的 な 遅 延 曲 線 プ ロ フ ァ イ ル は た と え ば 米 国 特 許 第 8 , 137 , 272 号 (Coo l ey e t al.) に示されている。この補償遅延が図2の遅延線118a~118nによって適用 されるとき、円を付けたエコー位置はみな、円を付けた深さ45および47によって示さ れるように、マルチライン42~42′′′に沿った同じそれぞれの深さのところに再現 される。これらが対応する受信ライン深さにあることは、まっすぐなカーブ54および5 6によって示される。すると、四つの補正されたマルチラインは、送信ラインから受信ラ インへのオフセットに対応する重み付けと組み合わされて、組み合わされたエコー信号 5 2 および 5 8 をもつ最終的な表示スキャンライン 5 0 を生じる。

[0018]

本発明の原理によれば、図2の超音波システムはさらに、反響信号プロセッサ100を含む。反響信号プロセッサの目的は、画像フィールドから受信されたエコー信号における反響信号アーチファクトの存在を識別し、次いで、受信された反響信号成分を送信ビーム焦点に位置する仮想点源まで逆にたどる時間反転のプロセスを通じて、本当に送信され受信されたとしたら前記反響信号を生成するために使用されるであろう位相付けおよび重み

20

30

40

50

付けを推定することである。だが、追加的な送信および受信は用いられない。その代わり、推定された位相および重みは、後ろ向き動的送信再合焦において使用される位相および重みを補足するために使われ、それにより撮像のために使われる受信エコー信号における反響信号アーチファクトについての打ち消し信号を得る。

[0019]

このプロセスは、受信されたエコー信号における反響信号アーチファクトの存在を検出 することによって始まる。これは、受信されたマルチラインの包絡検出された信号に対し て作用することによってなされる。図2の実装において、マルチライン・プロセッサによ って生成される初期ビームフォーミングされた信号は、包絡検出器92によって包絡検出 される。反響の源である強い反射体は、近距離フィールドにありトランスデューサに近い 任意の画像ピクセルp(x,y)、たとえば画像の第一の半分(すなわちy $y_{max}/2$)内のピク セルとして定義されることができる。ここでyは画像深さを示す。この強い反射体からの 受 信 信 号 は 、 強 度 範 囲 の 閾 値 よ り 大 き い 、 た と え ば 最 大 ピ ク セ ル 強 度 の 少 な く と も 80% で ある値をもつべきでもある。たとえば、ピクセル値範囲が0から255であれば、80%の閾値 は204であろう。これは、反響を引き起こす信号を含むと疑われるいかなるピクセルも実 質的に大きな振幅をもつことを確実にする。疑われるピクセルの強度値は、全体的な増大 した画像利得が高い強度を引き起こしているのではないことを確実にするために、近傍ピ クセルからなる関心領域の平均強度より少なくとも2標準偏差大きいべきである。ひとた びこれらの明るい、高強度のピクセルが画像信号内で識別されたら、強いエコーを見出す ために、これらの高強度点に対応するビームフォーミングされたr . f . ライン(Aライン) が 調 査 さ れ る 。 こ の 例 で は 、 ビ ー ム フ ォ ー ミ ン グ さ れ たAラ イ ン が 検 出 さ れ た マ ル チ ラ イ ン 信 号 で あ り 、 ピ ク セ ル 位 置 p (x , y) は A _i (t) に お け る 信 号 に 対 応 す る 。 こ こ で 、 A _i は i 番 目 のAラインである。線形のアレイ幾何については、画像深さyは、エコーが生じる時間(te)に直接関係し、y = c₀ t_e/2となる。ここで、c₀は撮像媒質中での音速であり、ライン番 号 i はpの 横 方 向 の x 位 置 に 最 も 近 い 超 音 波 ビ ー ム で あ る 。 こ れ は 、 i = ((x -x 1)/ x) + 1の 整数値として表現されうる。ここで、x1は最初のAラインの横方向位置であり、 の 相 続 く A ラ イ ン の 間 の 距 離 で あ る 。 ビ ー ム が 角 度 的 に 分 散 さ れ 、 空 間 的 に 同 じ 頂 点 位 置 か ら 発 す る 扇 形 ス キ ャ ン 幾 何 に つ い て は 、 ま ず ス キ ャ ン 変 換 が 反 転 さ れ る 必 要 が あ る 。 (x o,yo)によって与えられるスキャン原点に関する深さrは、エコーの信号時間に

【数1】

$$r = \sqrt{(x - x_0) + (y - y_0)} = c_0 t/2$$

と関係付けられ、i は i = $[(tan((x-x_0)/(y-y_0))-_1)/_1]+1$ の整数値である。ここで、 $_1$ は最初のAラインの角度であり、 は二つの相続くAラインの間の角度である。A $_j(t)$ のまわりのr f 信号の包絡が計算されて、包絡がピーク振幅の半分まで下がるまでのA $_j(t)$ のピークのまわりの信号を見出す。これらの特性をもつエコーは、二次送信のエコーとして識別される。つまり、反響アーチファクトである。

[0020]

「ev(t)と称される。すべての受信素子からの信号s^{rev}ij(t)が、j番目の送信後にトランスデューサ表面から反射される反響波面を定義する。それを反射する解剖学的表面が平坦であることはめったにないので、この波面は一般に複雑である(非平面状、非収束、非一様なアポダイゼーション)。

[0021]

次に、反響信号プロセッサは、該複雑な波面を、信号経路のトランスデューサ側からの入力として使って、反響波伝搬のシミュレーションを実行する。シミュレートされる波22 "は、扇形幾何について図4のa、bに示されるように、トランスデューサ・アレイ104からビームの焦点130に向かって外向きに伝搬させられ、波面はいくつかの仮想点源に分解される。伝搬させられた波面22 "の振幅および到着時間は、図4bに示されるビームの焦点130について計算される。これは、i番目の素子およびj番目の合焦された送信についての信号s^{rev};i(t)を使って送受信変換行列K_{T r R x}(t):

【数2】

$$\mathbf{K}_{\mathbf{TxRx}}(t) = \begin{bmatrix} s^{rev}_{11}(t) & s^{rev}_{12}(t) & \dots & s^{rev}_{1N}(t) \\ s^{rev}_{21}(t) & s^{rev}_{22}(t) & \dots & s^{rev}_{2N}(t) \\ \vdots & & \ddots & \vdots \\ s^{rev}_{M1}(t) & \dots & \dots & s^{rev}_{MN}(t) \end{bmatrix}$$

を構築することによってなされる。Mはトランスデューサ素子の数であり、Nは合焦された送信の数である。K_{T×R×}行列の各列は、合焦された送信後の、要素ごとの受信反響信号データを表わす。同様に、合焦された送信行列K_{focus}(t)は

【数3】

$$\mathbf{K}_{\text{focus}}(t) = \begin{bmatrix} s_{11}(t) & s_{12}(t) & \dots & s_{1M}(t) \\ s_{21}(t) & s_{22}(t) & \dots & s_{2M}(t) \\ \vdots & & \ddots & \vdots \\ s_{N1}(t) & \dots & \dots & s_{NM}(t) \end{bmatrix}$$

として構築される。ここで、 $s_{ij}(t)$ は、N個の合焦された送信についてM個のトランスデューサ素子のそれぞれから送信される信号を表わす。この計算は、図 2 に示されるような、送信ビームフォーマー 1 0 6 と反響信号プロセッサとの間のデータ線によって容易にされる。この行列は、送信ビームフォーミングに関連付けられた遅延およびアポダイゼーション重みを含み、これらは反響信号プロセッサに事前ロードされることができる。これらの変換行列の両方は、時間次元におけるフーリエ変換後に周波数領域 $K_{txRx}($)および $K_{focus}($)で表わされることもできる。

[0022]

反響信号の焦点(仮想源130)への伝搬をシミュレートするために、行列K_{T x R x}の任意の列は、行列K_{f o c u s}を左から乗算されることができる。よって、

 $V() = K_{f \circ c u s}() K_{t \times R \times}()$

ここで、V()は、NかけるN行列であり、その列は、反射反響エコーの、N個の仮想源130への分解を表わす。結果は、N個の要素の複素(位相および振幅)ベクトルである。この計算は、典型的には信号サンプリング周波数のナイキスト範囲に対応するn個の異なる周波数のフーリエ変換によって、各周波数 について繰り返されることができ、各送信イベントからの反響波面をその仮想源成分に分解する。V()の逆フーリエ変換が実行されて、焦点における到着時間および波振幅に戻り、これらが、上記の後ろ向き動的送信合焦調整によって実行される補正において、仮想源についての遅延時間および重みのはたらきをする。図4のcは、反響アーチファクトの補正のための仮想源点において必要とされる

10

20

30

40

20

30

40

50

遅延時間を表わす遅延時間t_{delay}の関数として、位置決めし直された仮想源点130を示している。

[0023]

ライン蓄積部112に蓄積された、個々の送信イベントTx_jからの受信されたAラインが、標準的な後ろ向き動的送信合焦補正を適用した後に組み合わされ(加算され)、次式 【数4】

$$\mathbf{A}^{rev}(\omega) = \left[\mathbf{V}(\omega)\right]^H \mathbf{A}(\omega)$$

における二次(反響)送信A「e」のためのAラインを推定する。ここで上付きのHは行列のエルミート演算子を示す。この表式において、A()は、フーリエ変換後のAライン行列表式の列ベクトルを示し、A「e」は、その二次送信が実際に送信されたとした場合の、受信されビームフォーミングされたAラインに対する近似を示す。しかしながら、物理的なビーム送信は実際には行なわれず、反響アーチファクトの原因となる信号は、A「e」()の逆フーリエ変換によって近似的に計算される。あるいはまた、個々の送信からの、ビームフォーミングされたAラインではなく、チャネルごとのデータが、後ろ向き動的送信再合焦のために使われ、二次(反響)送信のための受信信号を推定するために計算された重みおよび遅延を組み込んで組み合わされる(加算される)。最後に、仮想二次送信の推定された反響エコー信号が、実際の受信信号から、減算:

$\mathbf{A}^{corrected}(\omega) = \mathbf{A}(\omega) - \mathbf{A}^{rev}(\omega)$

によって消去される。補正されたAラインは逆フーリエ変換によって得られるA^{corrected}()。反響打ち消しプロセスは周波数領域で示されてきたが、時間領域で実行されることもできる。時間遅延および重みの計算後、遅延はビットシフト技法を使って、ビームフォーミングされたAラインに適用されることができ、遅延されたAラインに重みが乗算されることができ、時間領域で加算を実行して、A^{rev}(t)を得ることができる。最後に、A(t)からA^{rev}(t)が減算されてA^{corrected}(t)が得られる。

[0024]

上記の処理および反響アーチファクト補正は、図5のフローチャートにおいて逐次的に 示されている。ブロック70は、N個の送信イベント(Tx#1、Tx#2、...、Tx#N)のシーケ ンスのBモード送信 受信シーケンスを使って超音波画像を生成する方法を示している。 そこからのエコー・データが、超音波画像を生成するために使われる。各送信イベントは 、トランスデューサ・アレイ内の各素子(チャネル)によるエコー信号の受信につながる 。このチャネルごとの(素子ごとの)データは、N個の送信イベントについて、Rcv#1、... 、Rcv#Nとして示されている。各送信イベントからのエコー・データはAラインにビームフ ォーミングされ、A-L#1、...、A-L#Nを形成する。ステップ 7 2 では、反響の原因となる強 いエコーを識別するために、Rcv#1からのエコー・データのセットが解析される。この解 析は、rf信号の包絡検出および閾値より大きく、かつ周囲のピクセルよりも数(たとえば 2)標準偏差大きい振幅ピークの探索を含むことができる。ステップ74では、トランス デューサから仮想点源130のほうへの、識別された反響信号波面の伝搬のシミュレーシ ョンが、上記で与えた信号行列の式、たとえばV()を使って実行される。ステップ76 で示されるように、V()の逆フーリエ変換が、焦点における到達時間および信号振幅を 与え、それらが反響補正のための遅延時間および重みのはたらきをする。ステップ78で は、 重 みw ; お よ び 遅 延 t ; が 、N回 の 送 信 か ら の ビ ー ム フ ォ ー ミ ン グ さ れ たAラ イ ンA - L#1、 ...、A-L#Nに適用され、ステップ80では、重み付けされ遅延されたAラインが加算されて 、受信される反響信号を推定する(ステップ82)。本方法はさらに、Aラインから反響 信号を消去するステップ84を含んでいてもよい。このプロセスは、Rcv#2のエコー・デ ータ・セットについて繰り返され(ステップ88)、そのデータ・セットから反響信号を 消去し、すべてのデータ・セットが処理されたら、補正されたAラインを使って画像が形 成されてもよい(ステップ86)。

[0025]

本 発 明 の 実 装 に お け る 使 用 に 好 適 な 超 音 波 シ ス テ ム 、 特 に 図 2 の 超 音 波 シ ス テ ム の コ ン ポーネント構造がハードウェア、ソフトウェアまたは両者の組み合わせで実装されうるこ とが理解されるべきである。超音波システムのさまざまな実施形態および/またはコンポ ーネント、たとえばマルチライン・プロセッサ、重み付けおよび遅延回路、包絡検出器お よび反響信号プロセッサおよび画像プロセッサならびにそれらの中のコンポーネントおよ びコントローラも、一つまたは複数のコンピュータまたはマイクロプロセッサの一部とし て実装されてもよい。コンピュータまたはプロセッサは、コンピューティング装置、入力 装置、表示ユニットおよびたとえばインターネットにアクセスするためのインターフェー スを含んでいてもよい。コンピュータまたはプロセッサは、マイクロプロセッサを含んで いてもよい。マイクロプロセッサは、たとえばトレーニング画像をインポートするために PACSシステムまたはデータ・ネットワークにアクセスするために、 通信バスに接続されて もよい。コンピュータまたはプロセッサはメモリを含んでいてもよい。ライン蓄積部11 2 のようなメモリ・デバイスはランダムアクセスメモリ (RAM) および読み出し専用メモ リ(ROM)を含んでいてもよい。コンピュータまたはプロセッサはさらに、記憶装置を含 んでいてもよく、これはハードディスクドライブまたはリームバブル記憶ドライブ、たと えばフロッピーディスクドライブ、光ディスクドライブ、半導体サムドライブなどであっ てもよい。記憶デバイスは、コンピュータ・プログラムまたは他の命令をコンピュータま たはプロセッサにロードするための他の同様の手段であってもよい。

[0026]

本稿の用法では、用語「コンピュータ」または「モジュール」または「プロセッサ」または「ワークステーション」は、マイクロコントローラ、縮小命令セットコンピュータ(RISC)、ASIC、論理回路および本稿に記載される機能を実行することのできる他の任意の回路もしくはプロセッサを含む、任意のプロセッサ・ベースのまたはマイクロプロセッサ・ベースのシステムを含んでいてもよい。上記の例は単に例示的であり、よって、いかなる仕方でもこれらの用語の定義および / または意味を限定することは意図されていない。

[0027]

コンピュータまたはプロセッサは、入力データを処理するために、一つまたは複数の記憶要素に記憶された一組の命令のを実行する。記憶要素は、所望または必要に応じて、データまたは他の情報を記憶してもよい。記憶要素は、情報源または処理機械内の物理的なメモリ要素の形であってもよい。

[0028]

上記のような超音波画像の取得および処理を制御するものを含む超音波システムの前記一組の命令は、処理機械としてのコンピュータまたはプロセッサに、本発明のさまざまなコマンドを含みうる。前記一組の命令は、ソフトウェア・プログラムの形であってもよい。ソフトウェアは、システム・ソフトウェアまたはアプリケーション・ソフトウェアのようなまざまな形であってもよく、有体な、非一時的なコンピュータ可読媒体として埋めいまれてもよい。さらに、ソフトウェアは、上記の反響信号プロセッサのシミュレーシでまよび式の処理を実行するものなど、別個のプログラムまたはモジュールの集合の形であってもよい。ソフトウェアは、オブジェクト指向プログラミングの形のモジュラーがフログラミングを含んでいてもよい。処理機械による入力データの処理は、操作者のコマンドに応答して、または前の処理の結果に応答して、または別の処理機械によってなされる要求に応答してでありうる。

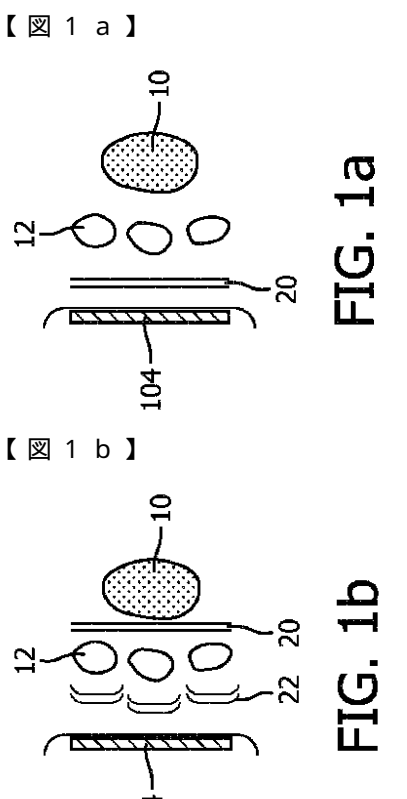
[0029]

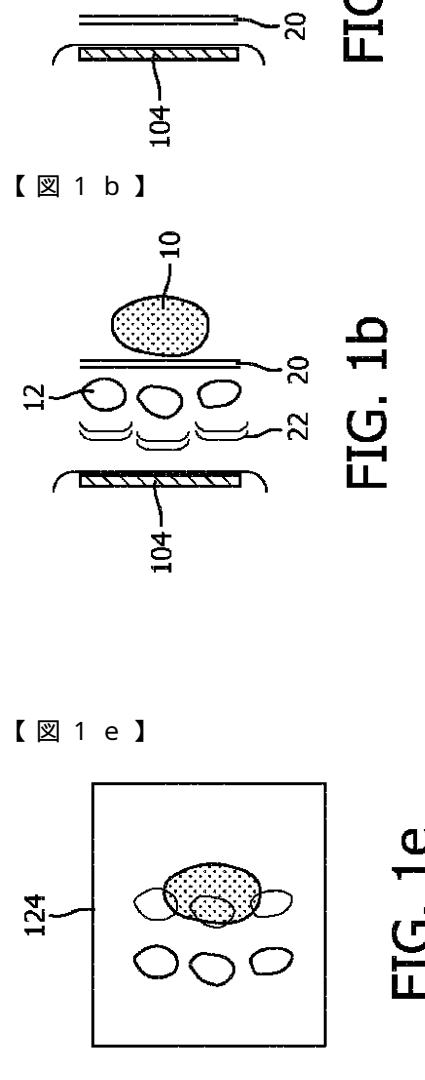
さらに、下記の請求項の限定は、ミーンズプラスファンクション形式では書かれておらず、かかる請求項の限定が「するための手段」という句を、さらなる構造のない機能の陳述とともに明示的に使うのでない限り、米国法典第35、第112条第 6 項に基づいて解釈されることは意図されていない。

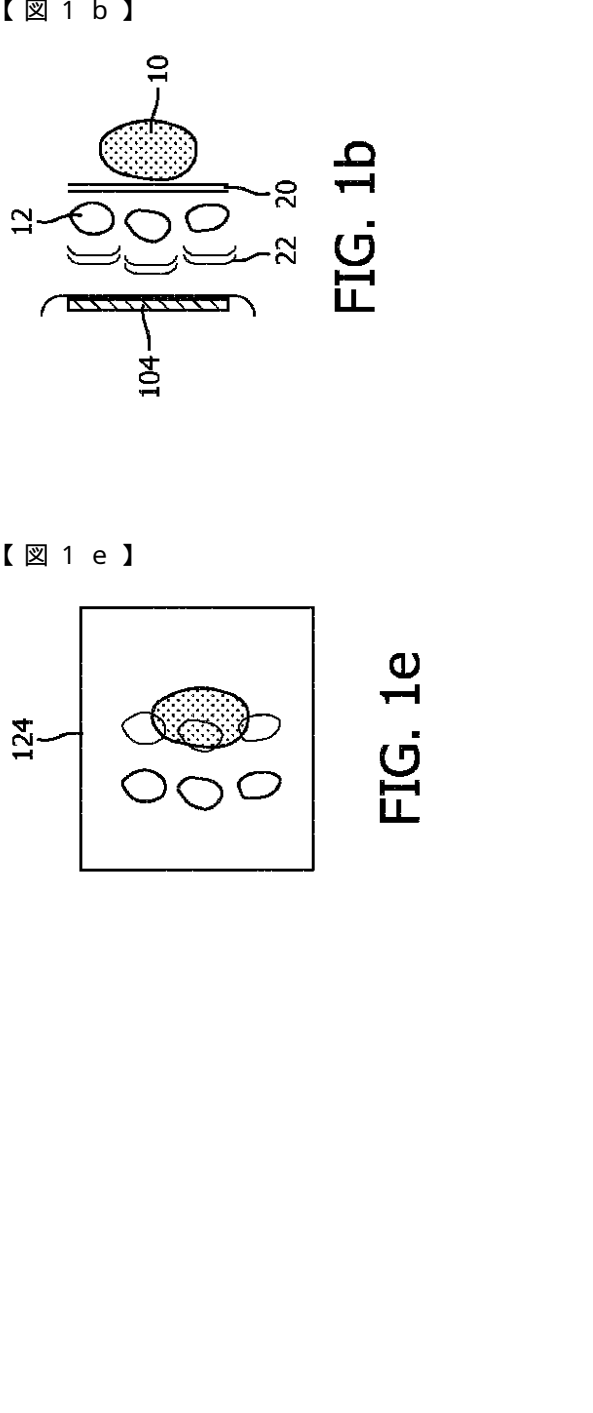
10

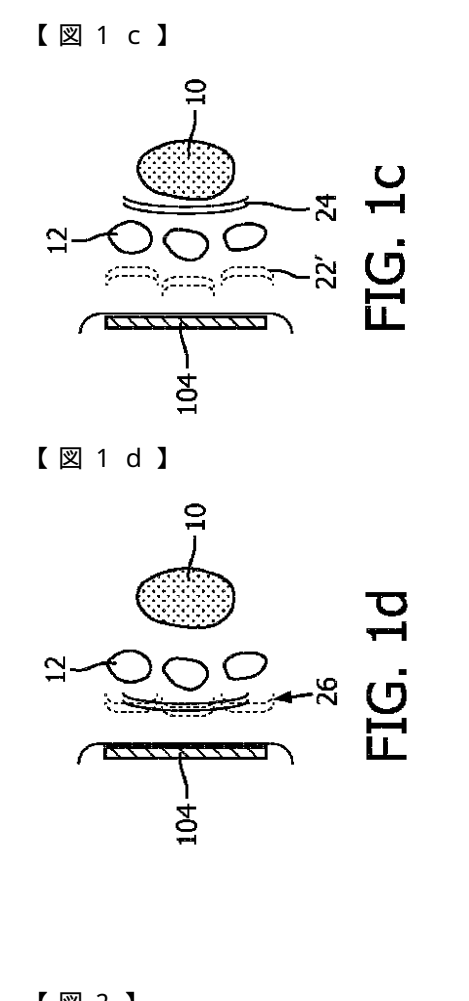
20

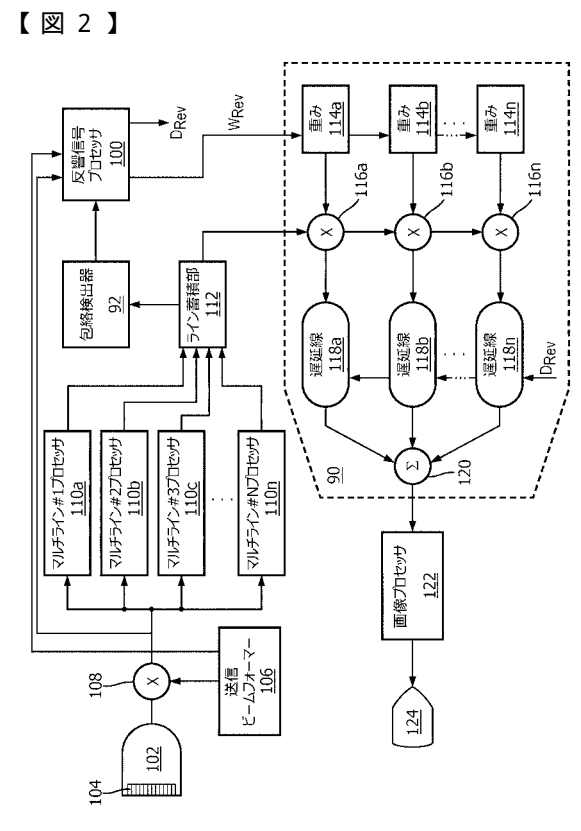
30



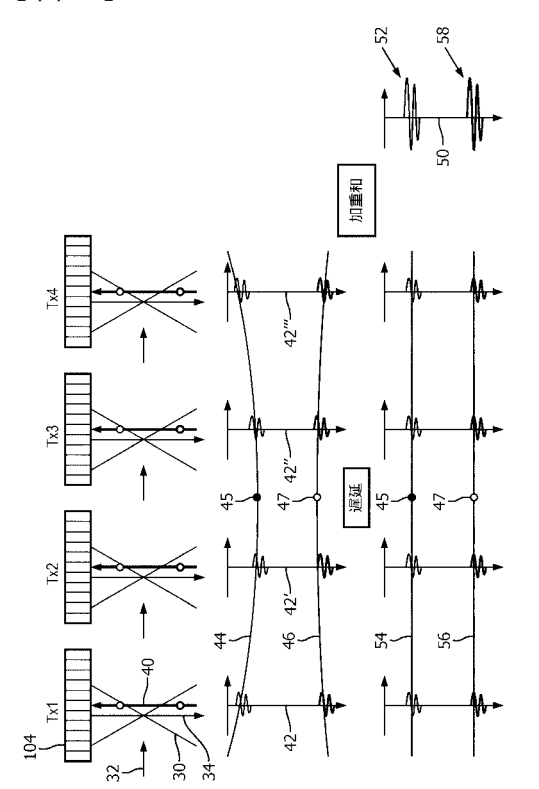




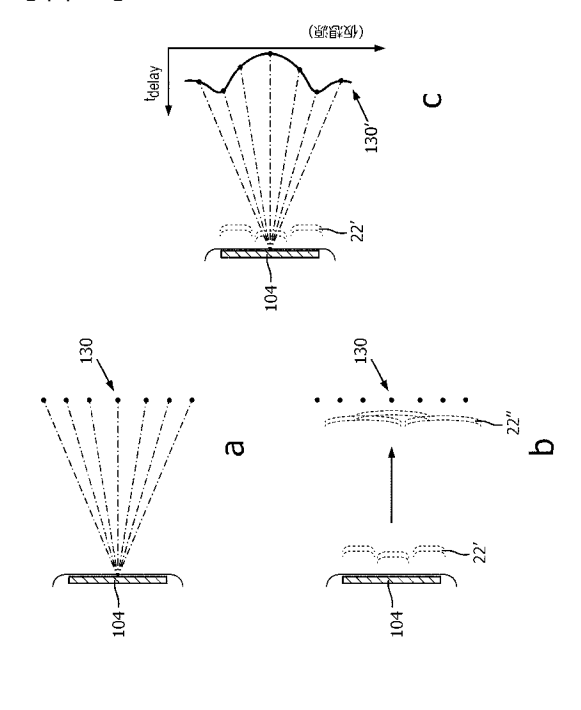




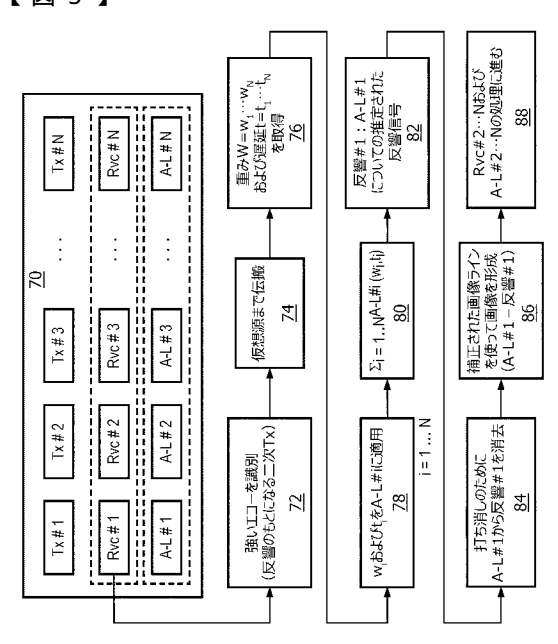
【図3】



【図4】



【図5】



【手続補正書】

【提出日】令和1年11月12日(2019.11.12)

【手続補正1】

【補正対象書類名】特許請求の範囲

【補正対象項目名】全文

【補正方法】変更

【補正の内容】

【特許請求の範囲】

【請求項1】

超音波画像における反響信号アーチファクトを軽減する方法であって:

反響信号アーチファクトを含む超音波エコー信号を受領し;

前記超音波エコー信号を包絡検出によって処理し;

前記超音波エコー信号における反響信号成分の存在を、包絡検出された超音波信号の振幅から検出し;

反響信号補正のための時間遅延および振幅を、反響信号の仮想点源までの伝達のシミュレーションから推定し;

組み合わされたAラインにおける反響信号成分を減らすよう、推定された時間遅延および振幅を使って、前記超音波エコー信号の複数のAラインを組み合わせ;

組み合わされたAラインを使って超音波画像を形成することを含む、 方法。

【請求項2】

超音波エコー信号を受領することがさらに、複数の送信イベントを送信し、各送信ビームに応答して複数のマルチラインを受信することを含む、請求項1記載の方法。

【請求項3】

複数のAラインを組み合わせることがさらに、複数の送信イベントからの複数のマルチ ラインを組み合わせることを含む、請求項 2 記載の方法。

【請求項4】

複数のマルチラインを組み合わせることがさらに、複数のマルチラインを、該マルチラインを互いに関して再合焦する時間遅延を使って組み合わせることを含む、請求項 3 記載の方法。

【請求項5】

<u>反</u>響信号の存在を検出することがさらに、ある閾値より大きく、かつ周囲のピクセルよ リ少なくとも2標準偏差大きい超音波信号ピクセル振幅を識別することを含む、

請求項1ないし4のうちいずれか一項記載の方法。

【請求項6】

前記仮想点源が、送信されたまたは受信された超音波ビームの焦点深さに位置されている、請求項 1 <u>ないし 5 のうちいずれか一項</u>記載の方法。

【請求項7】

反響信号補正のための時間遅延および振幅を推定することがさらに、受領されたエコー信号から反響信号成分を推定することを含む、請求項 1 <u>ないし6 のうちいずれか一項</u>記載の方法。

【請求項8】

前記仮想点源が、送信されたまたは受信された超音波ビームの焦点深さに位置されており、

前記時間遅延および振幅が、前記仮想点源におけるシミュレートされた反響信号成分の到着時間および振幅からの推定値である、

請求項7記載の方法。

【請求項9】

反響信号成分を減らすよう、推定された時間遅延および振幅を使って、前記超音波エコー信号の複数のAラインを組み合わせることがさらに、推定された反響信号成分を受領さ

れた超音波エコー信号から減算することを含む、請求項フまたは8記載の方法。

【請求項10】

複数のAラインを組み合わせることがさらに、反響アーチファクトを含むAラインを推定するための再合焦遅延を使って複数のAラインを組み合わせることを含む、請求項 8 <u>また</u>は 9 記載の方法。

【請求項11】

超音波画像における反響信号アーチファクトを軽減するための診断超音波システムであって:

反響信号アーチファクトを含む複数の受信された超音波エコー信号を少なくとも部分的 にビームフォーミングすることによって複数のAラインを提供するよう構成されたマルチ ライン・プロセッサと;

前記複数のAラインに応答し、各Aラインの包絡を検出するよう構成された包絡検出器であって、各包絡検出は包絡振幅検出を含む、包絡検出器と;

前記包絡検出器に結合され、前記超音波エコー信号における反響信号成分の存在を、前記包絡の振幅から検出し、反響信号補正のための時間遅延および振幅を、今の反響信号の仮想点源までの伝達のシミュレーションから推定するよう構成された反響信号プロセッサとを有する、

診断超音波システム。

【請求項12】

前記マルチライン・プロセッサおよび前記反響信号プロセッサに結合され、組み合わされたAラインにおける反響信号成分を減らすよう、推定された時間遅延および振幅を使って、前記超音波エコー信号の複数のAラインを組み合わせるよう構成された結合器と;

組み合わされたAラインを使って超音波画像を形成するよう構成された画像プロセッサとをさらに有する、

請求項11記載の診断超音波システム。

【請求項13】

前記反響信号プロセッサが、反響信号補正のための時間遅延および振幅を推定することを、合焦送信信号行列および送信 受信変換行列との積をさらに計算することによって行なうよう構成されている、請求項11または12記載の診断超音波システム。

【請求項14】

前記反響信号プロセッサが、反響信号補正のための時間遅延および振幅を推定することを、複素反響波面行列の逆フーリエ変換をさらに計算することによって行なうよう構成されている、請求項13記載の診断超音波システム。

【請求項15】

前記画像プロセッサが、超音波画像を形成することを、送信ビームの軸の関数として再合焦された複数のマルチラインから画像を形成することによって行なうよう構成されている、請求項12ないし14のうちいずれか一項記載の診断超音波システム。

【国際調査報告】

	INTERNATIONAL CEARCU	REDORT			
	INTERNATIONAL SEARCH	REPORT	international app	national application No	
			PCT/EP201	8/062158	
A. CLASSI INV. ADD.	FICATION OF SUBJECT MATTER G01S7/52				
According to	International Patent Classification (IPC) or to both national classification	oation and IPC			
	SEARCHED cumentation searched (classification system followed by classifics	tion symbols)			
G01S					
Documentat	ion searched other than minimum documentation to the extent that	such documents are	ncluded in the fields se	arched	
Electronic d	ata base consulted during the international search (name of data b	ease and, where pract	icable, search terms use	ed)	
EPO-In	ternal, INSPEC, WPI Data				
C. DOCUME	NTS CONSIDERED TO BE RELEVANT				
Category*	Citation of document, with indication, where appropriate, of the re	elevant развадев		Relevant to claim No.	
×	BRENDE OLE MARTIN ET AL: "Adap reverberation noise delay estim reverberation suppression in duultrasound imaging", THE JOURNAL OF THE ACOUSTICAL SOMERICA, AMERICAN INSTITUTE OF THE ACOUSTICAL SOCIETY OF AMERI YORK, NY, US, vol. 138, no. 5, 1 January 1901 (1901-01-01), par 3341-3351, XP012202852, ISSN: 0001-4966, DOI: 10.1121/1 [retrieved on 1901-01-01] abstract; figure 1 Sections I. to IV. and VIII.	1-16			
X Furth	ner documents are listed in the continuation of Box C.	X See paten	t family annex.		
"A" docume to be c "E" earlier a filing "L" docume cited to specia "O" docume means	nt which may throw doubts on priority claim(s) or which is cetablish the publication date of another citation or other I reason (as epecified) intreferring to an oral disolosure, use, exhibition or other	date and not in the principle of "X" document of paragraph of the step when the "Y" document of paragraph of the considered to combined with the step when the step will be step with the principle of the step will be step with the principle of the step will be step with the principle of the principle of the step will be step with the principle of the princi	nt published after the international filing date or priority to conflict with the application but offed to understand or theory underlying the invention particular relevance; the claimed invention cannot be noted or cannot be considered to involve an inventive he document is taken alone particular relevance; the claimed invention cannot be to involve an inventive step when the document is the ore or more other such documents, such combination us to a person skilled in the art		
"P" document published prior to the international filing date but later than the priority date claimed "&" document member of the same patent family				family	
Date of the actual completion of the international search Date of mailing of the international search report					
1	3 July 2018	23/07	7/2018		
Name and n	nailing address of the ISA/ European Patent Office, P.B. 5818 Patentlaan 2	Authorized offi	Authorized officer		
	NL - 2280 HV Rijswijk Tel. (+31-70) 340-2040, Fax: (+31-70) 340-3016	Zanel	ooni, Thomas		

INTERNATIONAL SEARCH REPORT

International application No PCT/EP2018/062158

C(Continua	ation). DOCUMENTS CONSIDERED TO BE RELEVANT	PCT/EP2018/062158
ategory*	Citation of document, with indication, where appropriate, of the relevant passages	Relevant to claim No.
Y	JOCHEN M. RAU ET AL: "Methods for reverberation suppression utilizing dual frequency band imaging", THE JOURNAL OF THE ACOUSTICAL SOCIETY OF AMERICA, vol. 134, no. 3, 1 September 2013 (2013-09-01), pages 2313-2325, XP055492151, New York, NY, US ISSN: 0001-4966, DOI: 10.1121/1.4817900 abstract; figures 1-4, 9, 10 Sections I. to III. and V.	1-4,9,10
Y	US 2013/343627 A1 (ZWIRN GIL [IS]) 26 December 2013 (2013-12-26) abstract; figures 2A-4 paragraph [0002] - paragraph [0024] paragraph [0044] - paragraph [0075]	1-4,9,10
A	US 2003/199763 A1 (ANGELSEN BJORN A J [NO] ET AL) 23 October 2003 (2003-10-23) cited in the application the whole document	1-16
A	BRETT BYRAM: "Ultrasonic reverberation and off-axis clutter suppression using aperture domain signal decomposition", PROCEEDINGS OF SPIE, vol. 8675, 15 March 2013 (2013-03-15), page 86750T, XP055492400, 1000 20th St. Bellingham WA 98225-6705 USA ISSN: 0277-786X, DOI: 10.1117/12.2006929 ISBN: 978-1-5106-1533-5 the whole document	1-16

INTERNATIONAL SEARCH REPORT

information on patent family members

International application No PCT/EP2018/062158

					PUI/EP	2018/062158
Patent document cited in search report		Publication date		Patent family member(s)		Publication date
US 2013343627	A1	26-12-2013	GB US WO	250299 201334362 201318667	7 A1	18-12-2013 26-12-2013 19-12-2013
US 2003199763			NONE			

Form PCT/ISA/210 (patent family annex) (April 2005)

フロントページの続き

(81)指定国・地域 AP(BW,GH,GM,KE,LR,LS,MW,MZ,NA,RW,SD,SL,ST,SZ,TZ,UG,ZM,ZW),EA(AM,AZ,BY,KG,KZ,RU,TJ,TM),EP(AL,AT,BE,BG,CH,CY,CZ,DE,DK,EE,ES,FI,FR,GB,GR,HR,HU,IE,IS,IT,LT,LU,LV,MC,MK,MT,NL,NO,PL,PT,RO,RS,SE,SI,SK,SM,TR),OA(BF,BJ,CF,CG,CI,CM,GA,GN,GQ,GW,KM,ML,MR,NE,SN,TD,TG),AE,AG,AL,AM,AO,AT,AU,AZ,BA,BB,BG,BH,BN,BR,BW,BY,BZ,CA,CH,CL,CN,CO,CR,CU,CZ,DE,DJ,DK,DM,DO,DZ,EC,EE,EG,ES,FI,GB,GD,GE,GH,GM,GT,HN,HR,HU,ID,IL,IN,IR,IS,JO,JP,KE,KG,KH,KN,KP,KR,KW,KZ,LA,LC,LK,LR,LS,LU,LY,MA,MD,ME,MG,MK,MN,MW,MX,MY,MZ,NA,NG,NI,NO,NZ,OM,PA,PE,PG,PH,PL,PT,QA,RO,RS,RU,RW,SA,SC,SD,SE,SG,SK,SL,SM,ST,SV,SY,TH,TJ,TM,TN,TR,TT

(72)発明者 メラル,ファーイク ジャン

オランダ国 5656 アーエー アインドーフェン ハイテック キャンパス 5

(72)発明者 ヴィニョン, フランソワ ギー ジェラール マリー

オランダ国 5656 アーエー アインドーフェン ハイテック キャンパス 5

(72)発明者 ロベール,ジャン-リュック フランソワ-マリー

オランダ国 5 6 5 6 アーエー アインドーフェン ハイテック キャンパス 5 F ターム(参考) 4C601 EE04 GB03 HH01 HH25 HH28 HH29 JB47 JB48 JB49 JB50



专利名称(译)	超声诊断图像中的回声伪影消除					
公开(公告)号	<u>JP2020519346A</u>	公开(公告)日	2020-07-02			
申请号	JP2019561313	申请日	2018-05-09			
[标]申请(专利权)人(译)	皇家飞利浦电子股份有限公司					
申请(专利权)人(译)	皇家飞利浦NV哥德堡					
[标]发明人	ヴィニョンフランソワギージェラールマリー					
发明人	メラル,ファーイク ジャン ヴィニョン,フランソワ ギー ジェラール マリー ロベール,ジャン-リュック フランソワ-マリー					
IPC分类号	A61B8/14					
FI分类号	A61B8/14					
F-TERM分类号	4C601/EE04 4C601/GB03 4C601/HH01 4C601/HH25 4C601/HH28 4C601/HH29 4C601/JB47 4C601/JB48 4C601/JB49 4C601/JB50					
代理人(译)	伊藤忠彦					
优先权	62/504681 2017-05-11 US					

摘要(译)

超声诊断成像系统收集响应于多个传输事件而生成的接收回波信号束。使用重新聚焦来合并接收波束,以考虑到与接收波束的发射事件位置的差异。 重新聚焦中的延迟和权重由校正混响伪影的延迟和权重补充。 处理接收到的回声信号以检测通用伪影的存在,并计算回声信号分量到图像场中虚拟点源的模拟传输。 该模拟产生用于回波信号补偿的延迟和权重或估计的回波信号,可以从接收到的回波信号中减去这些延迟和权重,以减少回波伪像。

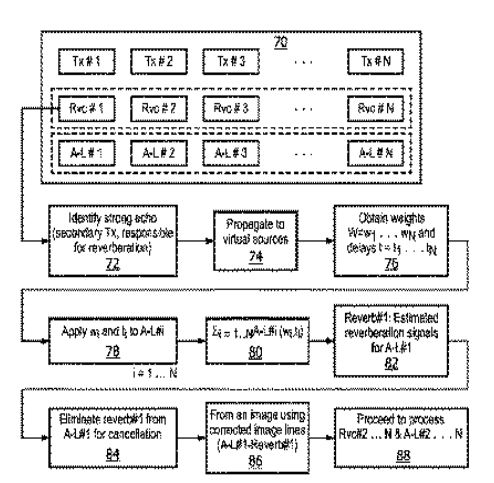


FIG. 5